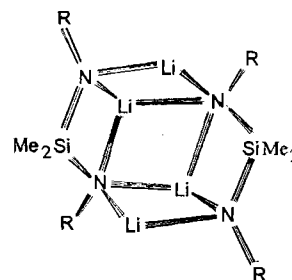
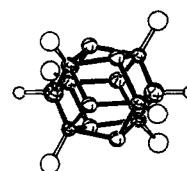


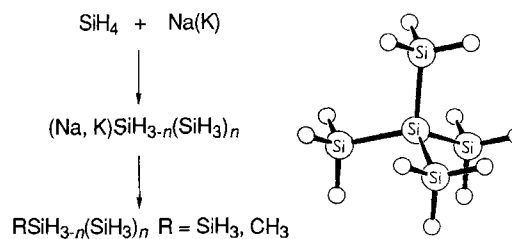
- 2099** **Veith*, M., Zimmer, M., Kosse, P.**
 Zu Struktur und dynamischem Verhalten zweier Bis[lithio(trimethylsilyl)amino]silane
 Structures and Dynamical Behaviour of two Bis[lithio(trimethylsilyl)amino]silanes



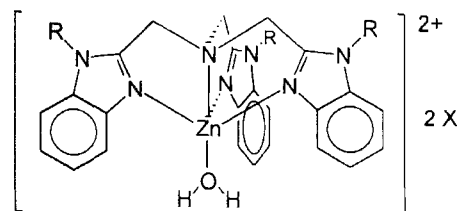
- 2103** **Kosse, P., Popowski, E., Veith*, M., Huch, V.**
 Lithiumsalze des Tris(trimethylsilylamino)silans – Zur Struktur in Lösung und im Festkörper
 Lithium Salts of Tris(trimethylsilylamino)silane – Their Structures in Solution and in the Solid State



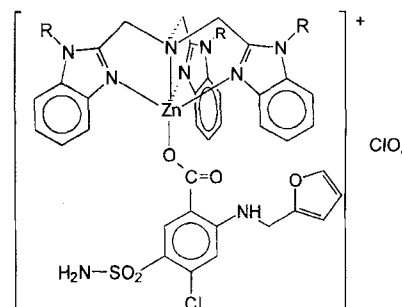
- 2111** **Lobreyer, T., Sundermeyer*, W., Oberhammer, H.**
 Über dehydrierende Aufbaureaktionen zu silylsubstituierten Alkalimetallgermaniden, -stanniden und -phosphiden; Molekülstruktur von Neopentasilan
 Dehydrogenative Build-up Reactions to Silyl-Substituted Alkali Metal Germanides, Stannides, and Phosphides; Molecular Structure of Neopentasilane



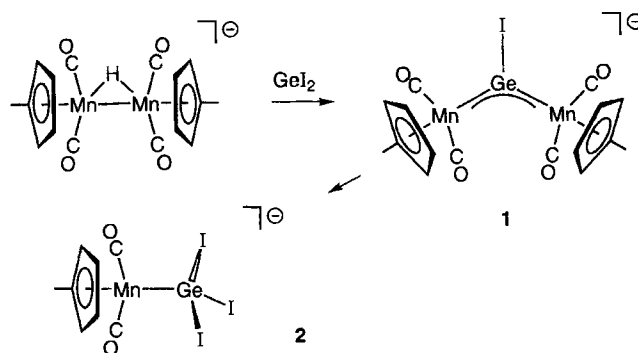
- 2117** **Gregorzik, R., Hartmann, U., Vahrenkamp*, H.**
 Einfache Zinkkomplexe von Tris(imidazolylmethyl)amin-Liganden
 Simple Zinc Complexes of Tris(imidazolylmethyl)amine Ligands



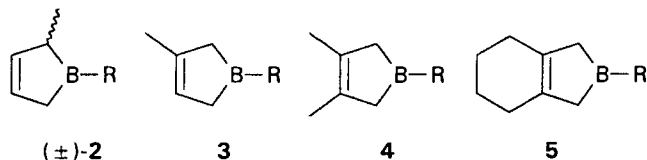
- 2123** **Hartmann, U., Gregorzik, R., Vahrenkamp*, H.**
 Funktionelle Zinkkomplexe von Tris(imidazolylmethyl)amin-Liganden
 Functional Zinc Complexes of Tris(imidazolylmethyl)amine Ligands



2129

Schiemenz, B., Huttner*, G.[Cp'(CO)₂Mn≡GeI≡Mn(CO)₂Cp']⁻, der erste Germanium-,Inidene“-Komplex[Cp'(CO)₂Mn≡GeI≡Mn(CO)₂Cp']⁻, the First Germanium-,Inidene“ Complex

2135

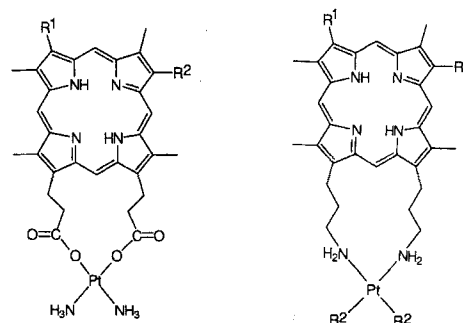
Herberich*, G. E., Marx, H.-W., Wagner, T.Synthese von C-substituierten 2,5-Dihydro-1*H*-borolen (3-Borolenen)Synthesis of C-substituted 2,5-Dihydro-1*H*-boroles (3-Borolenes)R = NMe₂, NEt₂, NⁱPr₂, Ph, Me

2141

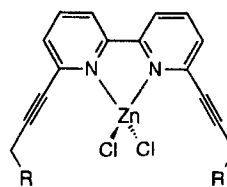
Brunner*, H., Maiterth, F., Treitinger, B.

Synthese und Antitumoraktivität neuer Porphyrin-Platin(II)-Komplexe mit an den Porphyrin-Seitenketten gebundenem cytostatischen Platin-Rest

Synthesis and Antitumor Activity of New Porphyrin-Platinum(II) Complexes with the Cytostatic Platinum Fragment Attached to the Porphyrin Side Chains



2151

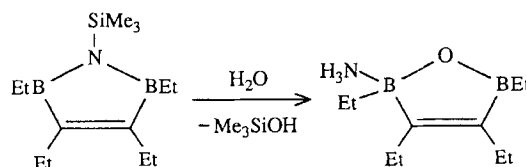
Kövári, E., Krämer*, R.Zink(II)-Komplexe des Ammonium-funktionalisierten 2,2'-Bipyridins [6,6'-{Me₂N(H)CH₂C≡C}₂bpy](ClO₄)₂ und des verwandten Liganden 6,6'-(CH₃CH₂CH₂-C≡C)₂bpyZinc(II) Complexes of the Ammonium-Functionalized 2,2'-Bipyridine [6,6'-{Me₂N(H)CH₂C≡C}₂bpy](ClO₄)₂ and of the Related Ligand 6,6'-(CH₃CH₂CH₂C≡C)₂bpy3 R = CH₂CH₃4 R = N(H)Me₂⁺ ClO₄⁻

2159

Köster*, R., Seidel, G., Boese, R.

Ethyl-substituierte 2,5-Dihydro-1,2,5-oxadiborole

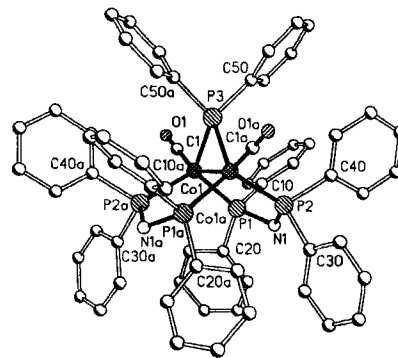
Ethyl-substituted 2,5-Dihydro-1,2,5-oxadiboroles



2167 Pohl, D., Ellermann*, J., Knoch, F. A., Moll, M., Bauer, W.

Chemie polyfunktioneller Moleküle, 115. – Reduktive Spaltung von $(\text{Ph}_2\text{P})_2\text{NH}$ und Stabilisierung der Spaltprodukte in einem monoradikalischen Dicobalt(1/2+)- und zwei Dicobalt(1+)carbonyl-Komplexen; Kristallstrukturanalysen der drei neuen Komplexe

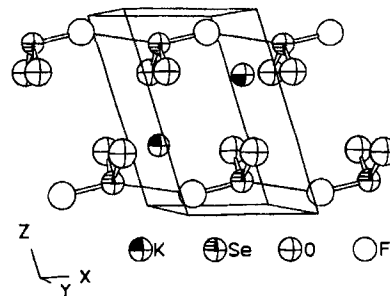
Chemistry of Polyfunctional Molecules, 115. – Reductive Cleavage of $(\text{Ph}_2\text{P})_2\text{NH}$ and Stabilizing of the Cleavage Products in a Mono-radical Dicobalt(1/2+)- and Two Dicobalt(1+) Carbonyl Complexes; Crystal Structures of the Three New Complexes



2173 Feldmann, C., Jansen*, M.

Über die Kristallstrukturen der Monofluorosenite MSeO_2F ($\text{M} = \text{K}, \text{Rb}, \text{Cs}$)

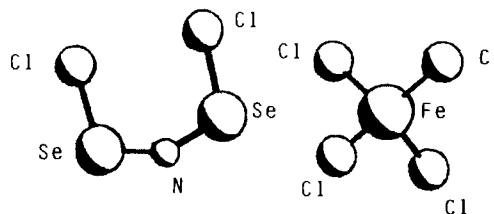
On the Crystal Structures of the Monofluorosenites MSeO_2F ($\text{M} = \text{K}, \text{Rb}, \text{Cs}$)



2177 Broschag, M., Klapötke*, T. M., Schulz, A., White*, P. S.

$[(\text{SeCl})_2\text{N}][\text{FeCl}_4]$: Synthese, quantenchemische Berechnungen, Schwingungsdaten und Einkristall-Röntgenstruktur-Analyse

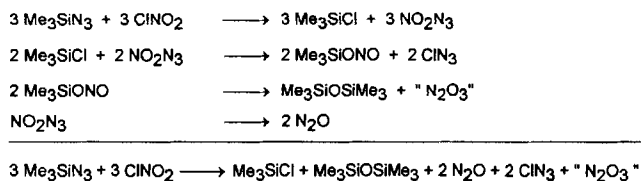
$[(\text{SeCl})_2\text{N}][\text{FeCl}_4]$: Synthesis, Quantumchemical Calculations, Vibrational Data and Single-Crystal X-ray Structure



2181 Klapötke*, T. M., Schulz, A., Tornieporth-Oetting, I. C.

Studium des Reaktionsverhaltens von Nitryl-Verbindungen gegenüber Aziden: Beweis für Tetrastickstoffdioxid, N_4O_2

Studies of the Reaction Behavior of Nitryl Compounds Towards Azides: Evidence for Tetranitrogen Dioxide, N_4O_2

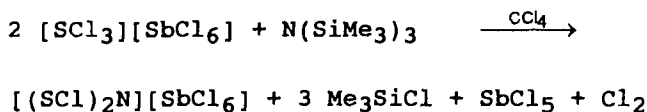


Notizen / Notes

2187 Broschag, M., Schulz, A., Klapötke*, T. M.

Eine neue bequeme Einstufen-Synthese von $[(\text{SCl})_2\text{N}]^+[\text{SbCl}_6]^-$ mit dem $[(\text{SCl})_2\text{N}]^+$ -Kation

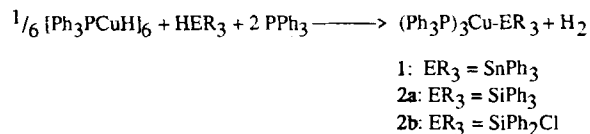
A New Convenient One-Step Synthesis of $[(\text{SCl})_2\text{N}]^+[\text{SbCl}_6]^-$ Containing the $[(\text{SCl})_2\text{N}]^+$ Cation



2189 Schubert*, U., Mayer, B., Ruß, C.

Übergangsmetall-Silyl-Komplexe, 52. – Bildung von Kupfer-Silyl- und -Stannyl-Komplexen durch Umsetzung von $[\text{Ph}_3\text{PCuH}]_6$ mit HER_3 ($\text{E} = \text{Si}, \text{Sn}$)

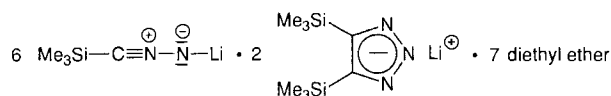
Transition Metal Silyl Complexes, 52. – Formation of Copper Silyl and Stannyl Complexes by Reaction of $[\text{Ph}_3\text{PCuH}]_6$ with HER_3 ($\text{E} = \text{Si}, \text{Sn}$)



2193 Boche*, G., Harms, K., Marsch, M., Schubert, F.

{6 Lithio(trimethylsilyl)diazomethan · 2 Lithio[4,5-bis(trimethylsilyl)triazen] · 7 Diethylether}: Die erste Kristallstrukturbestimmung eines lithiierten Diazoalkans

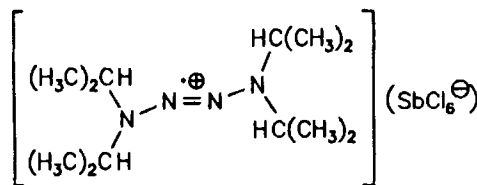
{6 Lithio(trimethylsilyl)diazomethane · 2 Lithio[4,5-bis(trimethylsilyl)triazene] · 7 Diethyl Ether}: The First X-Ray Structure Analysis of a Lithiated Diazoalkane



2197 Bock*, H., Göbel, I., Näther, C., Solouki, B., John, A.

Strukturen sterisch überfüllter und ladungsgestörter Moleküle, 51. – Oxidative Zersetzung von Tetraisopropyltetrazen: Isolierung und Einkristallstrukturen des Radikalkation-Salzes $[(\text{H}_3\text{C})_2\text{HC})_2\text{N}-\text{N}=\dot{\text{N}}-\text{N}-(\text{CH}(\text{CH}_3)_2)_2](\text{SbCl}_6^-)$ und des N_2 -Eliminierungsproduktes $[(\text{H}_3\text{C})_2\text{HC}-\text{HN}^+=\text{C}(\text{CH}_3)_2](\text{SbCl}_6^-)$

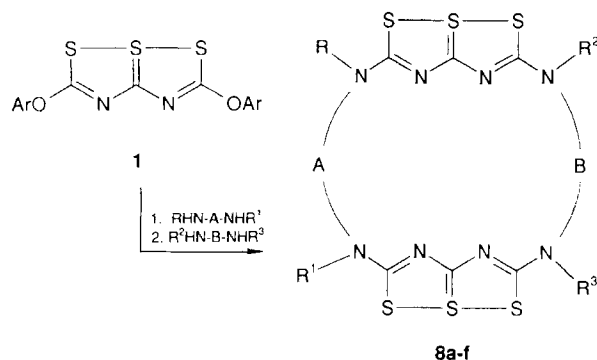
Structures of Sterically Overcrowded and Charge-Perfurbated Molecules, 51. – Oxidative Decomposition of Tetraisopropyltetrazen: Isolation and Single-Crystal Structures of the Radical Cation Salt $[(\text{H}_3\text{C})_2\text{HC})_2\text{N}-\text{N}=\dot{\text{N}}-\text{N}-(\text{CH}(\text{CH}_3)_2)_2](\text{SbCl}_6^-)$ and of the N_2 Elimination product $[(\text{H}_3\text{C})_2\text{HC}-\text{HN}^+=\text{C}(\text{CH}_3)_2](\text{SbCl}_6^-)$



2209 Tittelbach, F., Lutze, G., Graubaum*, H.

Aminolyse von 2,5-Bis(aryloxy)-3,3aλ⁴,4-trithia-1,6-diazapentalenen – ein Zugang zu makrocyclischen Heteropentalenen

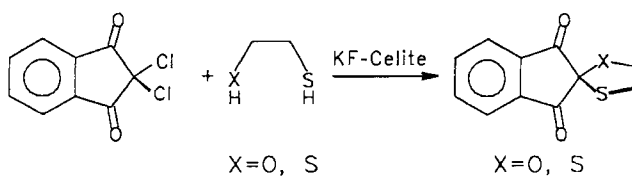
Aminolysis of 2,5-Bis(aryloxy)-3,3aλ⁴,4-trithia-1,6-diazapentalenes – an Entry to Macrocylic Heteropentalenes



2215 Gleiter*, R., Hoffmann, H., Irgartinger, H., Nixdorf, M.

Donor-Acceptor-Spiro-Verbindungen – Synthesen, Strukturen und elektronische Eigenschaften

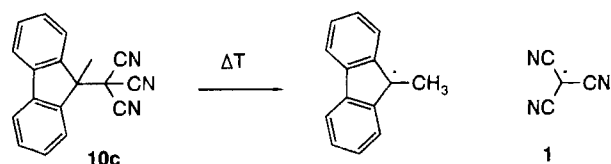
Donor-Acceptor Spiro-Compounds – Syntheses, Structures, and Electronic Properties



2225 Rakus, K., Verevkin, S. P., Beckhaus, H.-D., Rüchardt*, C.

Substituenten-Effekte auf die C–C Bindungsstärke, 15. – Geminale Substituenten-Effekte, 7. – Thermochemie und thermischer Abbau von Alkyl-substituierten Tricyanmethyl-Verbindungen

Substituent Effects on the C–C Bond Strength, 15. – Geminal Substituent Effects, 7. – Thermochemistry and Thermal Decomposition of Alkyl-substituted Tricyanomethyl Compounds



$$\Delta H^\ddagger = 155 \pm 2 \text{ kJ mol}^{-1}$$

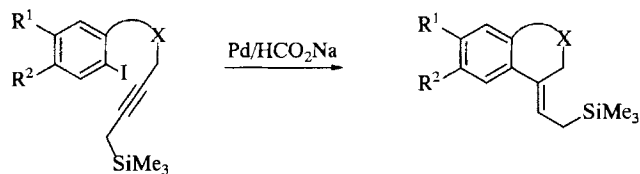
$$\Delta S^\ddagger = 58 \pm 5 \text{ J mol}^{-1} \text{ K}^{-1}$$

$$RSE(1) = -18 \text{ kJ mol}^{-1}$$

2235 Tietze*, L. F., Schimpf, R.

Stereoselektive Synthese von exocyclischen Allylsilanen durch intramolekulare reduktive Heck-Cyclisierung von Propargylsilanen

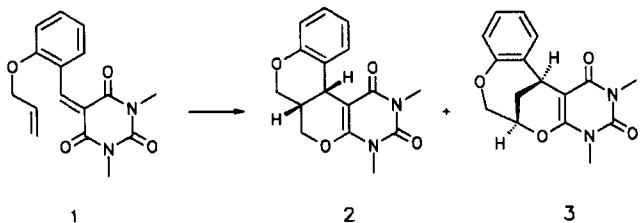
Stereoselective Synthesis of Exocyclic Allylsilanes by Intramolecular Reductive Heck Cyclisation of Propargylsilanes



2241 Buback*, M., Gerke, K., Ott, C., Tietze*, L. F.

Kinetik und Selektivität der intramolekularen Hetero-Diels-Alder-Reaktion eines 1-Oxa-1,3-butadien-Derivats der Benzylidenbarbitursäure. Der Einfluß von Druck, Temperatur und Lösungsmittel

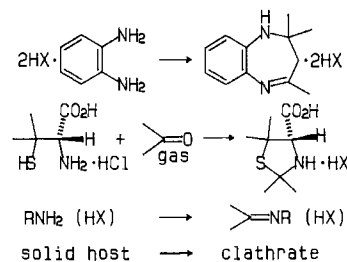
Kinetics and Selectivity of the Intramolecular Hetero Diels-Alder Reaction of 1-Oxa-1,3-butadienes using a Benzylidene barbituric Acid Derivative. Effect of Pressure, Temperature, and Solvent



2249 Kaupp*, G., Pogodda, U., Schmeyers, J.

Gas/Fest-Reaktionen mit Aceton

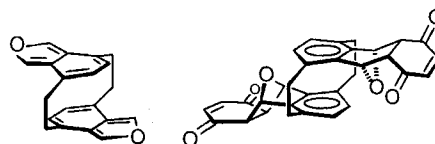
Gas/Solid Reactions with Acetone



2263 König, B., Ramm, S., Bubenitschek, P., Jones, P. G., Hopf, H., Knieriem, B., de Meijere*, A.

[2.2](4,7)-Isobenzofuranophane – Synthese, Charakterisierung und Reaktivität

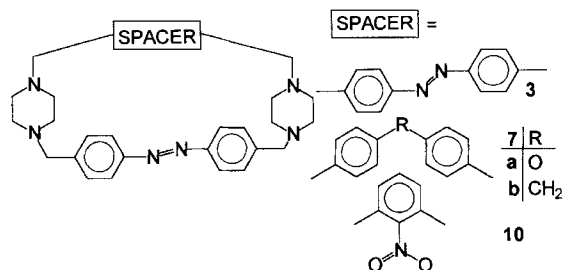
[2.2](4,7)Isobenzofuranophanes – Synthesis, Characterisation, and Reactivity



2267 Huuskonen*, J., Schulz, J., Kolehmainen, E., Rissanen*, K.

Photo-beeinflußbare Piperazin-Makrocyclen

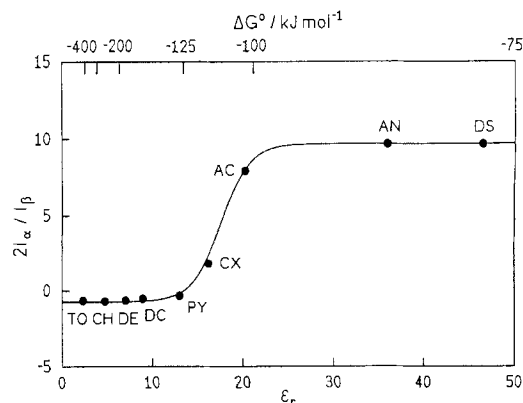
Photoresponsive Piperazine Macrocycles



2273 Goetz*, M., Sartorius, I.

Steuerung des Deprotonierungsweges eines Aminium-Kations durch die Lösungsmittel-Polarität

Control of the Deprotonation Route of an Aminium Cation by the Solvent Polarity

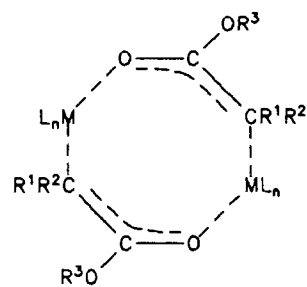


2277

Kauffmann*, T., Möller, T., Wilde, H.-W.

Chele- und Anticheleselektivität, V. – Über die Struktur und Chemoselektivität einiger Übergangsmetall-Derivate von Carbonsäureestern

Chele- and Anti-cheleselectivity, V. – On the Structure and Chemoselectivity of Some Transition Metal Derivatives of Carboxylic Acid Esters



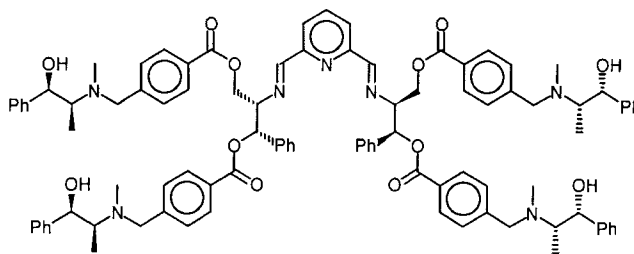
11 (M = Fe, Co, Cr)

2285

Brunner*, H., Altmann, S.

Enantioselektive Katalysen, 90. – Optisch aktive Stickstoffliganden mit Dendrimer-Struktur

Enantioselective Catalysis, 90. – Optically Active Nitrogen Ligands with Dendrimeric Structure

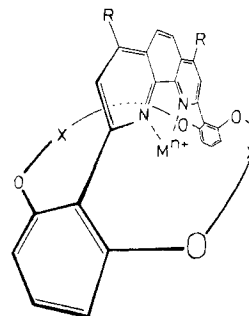


2297

Lüning*, U., Müller, M., Gelbert, M., Peters, K., von Schnering, H. G., Keller, M.

Konkave Reagenzien, 15. – Neue konkave 1,10-Phenanthroline: Katalysatoren für die Addition von Alkoholen an Ketene und Liganden in Übergangsmetall-Komplexen

Concave Reagents, 15. – New Concave 1,10-Phenanthrolines: Catalysts for the Alcohol Addition to Ketenes and Ligands in Transition Metal Complexes

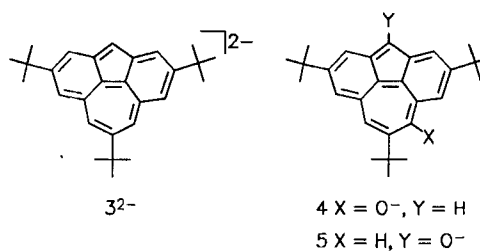


2307

Grieser, U., Hafner*, K.

Synthese und Eigenschaften kinetisch stabilisierter Derivate des Cyclohepta[def]fluorens

Synthesis and Properties of Kinetically Stabilized Cyclohepta[def]fluorene Derivatives

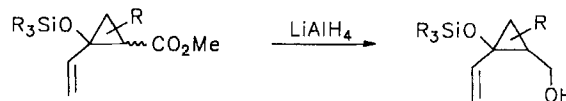


2315

Hofmann, B., Reißig*, H.-U.

Synthese neuer Alkenyl-substituierter 2-(*tert*-Butyldimethylsiloxy)cyclopropanecarboxylate und ihre diastereoselektive Umwandlung in (Hydroxymethyl)cyclopropane

Synthesis of New Alkenyl-Substituted 2-(*tert*-Butyldimethylsiloxy)cyclopropanecarboxylates and Their Diastereoselective Conversion into (Hydroxymethyl)cyclopropanes



2327

Hofmann, B., Reißig*, H.-U.

Swern-Oxidation von Alkenyl-substituierten 1-(*tert*-Butyldimethylsiloxy)-2-(hydroxymethyl)cyclopropanen: Ein neuer und flexibler Weg zu funktionalisierten 2,5-Dihydrooxepinen

Swern-Oxidation of Alkenyl-Substituted 2-(*tert*-Butyldimethylsiloxy)-1-(hydroxymethyl)cyclopropanes: A Novel and Flexible Route to Functionalized 2,5-Dihydrooxepines

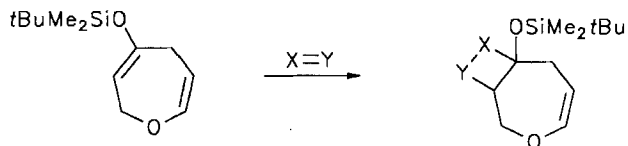
**Notizen / Notes**

2337

Hofmann, B., Reißig*, H.-U.

Charakteristische Reaktionen von 4-Siloxy-2,5-dihydrooxepinen: Desilylierung, [2 + 2]- und [4 + 2]-Cycloadditionen

Characteristic Reactions of 4-Siloxy-2,5-dihydrooxepines: Desilylation, [2 + 2] and [4 + 2] Cycloadditions

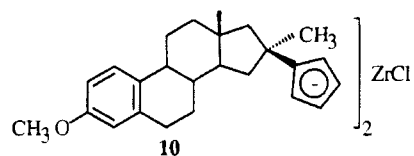


2341

**Erker*, G., Mollenkopf, C., Grehl, M.,
Schönecker, B.**

Ein Steroid-substituiertes gewinkeltes Gruppe-4-Metallocen-System: Synthese, Strukturelle Eigenschaften und Verwendung in der katalytischen Propen-Polymerisation

A Steroid-Substituted Group-4 Bent Metallocene System: Synthesis, Structural Features and Its Use in Catalytic Propene Polymerization

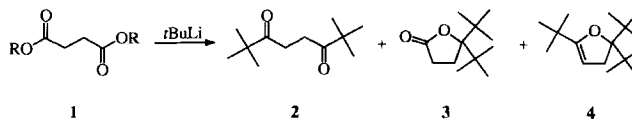


2347

Hopf*, H., Hänel, R.

Sterisch gehinderte Doppelbindungs-Systeme, VII. – Über die Reaktion von Bernsteinsäureestern mit *tert*-Butyllithium

Sterically Hindered Double-Bond Systems, VII. – On the Reaction of Succinic Esters with *tert*-Butyllithium



2349

Kaufmann*, D. E., Boese, R., Scheer, A.

1,2-Bis(diisopropylamino)-1,2-dihydro-1,2-benzodiboret – ein erstes thermisch stabiles 1,2-Dihydro-1,2-diboret

1,2-Bis(diisopropylamino)-1,2-dihydro-1,2-benzodiborete – A First Thermally Stable 1,2-Dihydro-1,2-diborete

